

УДК 548.5:548.7

**ВЗАИМОСВЯЗЬ "СТРУКТУРА—СВОЙСТВО" КРИСТАЛЛОВ
КАК ФАКТОР УТОЧНЕНИЯ СТРУКТУРНО-ФИЗИЧЕСКИХ ДАННЫХ**

© 2010 **Б.И. Кидяров¹, В.В. Атучин¹, Н.В. Первухина^{2*}**

¹Учреждение Российской академии наук Институт физики полупроводников им. А.В. Ржанова, Новосибирск

²Учреждение Российской академии наук Институт неорганической химии им. А.В. Николаева СО РАН, Новосибирск

Статья поступила 15 октября 2009 г.

С доработки — 15 февраля 2010 г.

На примере нецентросимметричных (НЦС) кристаллов фосфатов проведена систематизация взаимосвязи состав—структура—свойство с построением множества структур фосфатов на карте длин оксидных связей. Показано, что это множество располагается в 12 подобластях розетки из трех эллипсов ацентричности, содержащих кристаллы различных структур и с разной величиной нелинейно-оптических свойств. Взаимно-однозначное соответствие структуры и набора НЦС свойств кристаллов позволяет более надежно устанавливать их структурно-физические данные.

Ключевые слова: нецентросимметричные кристаллы, фосфаты, структура, микроструктура, нелинейно-оптические свойства.

ВВЕДЕНИЕ

Важнейшей характеристикой структуры кристалла является ее принадлежность к определенной пространственной или точечной группе симметрии. Согласно принципу Неймана (теореме Нетер) имеется полное взаимно-однозначное соответствие между кристаллографической структурой и набором возможных физических свойств кристаллов [1, 2]. Поэтому знание физических свойств кристаллов помогает уточнить их структуру в случае неоднозначности расшифровки рентгенографических данных [2, 3]. Такая проблема возникает довольно часто, особенно при необходимости различения центросимметричных (ЦС) и нецентросимметричных (НЦС) структур. В этом случае кроме рентгенографических данных полезно принять во внимание данные колебательной спектроскопии (инфракрасной (ИК), и спектроскопии комбинационного рассеяния (КР) света) [3, 4]. Для этих целей из физических свойств НЦС кристаллов наиболее часто используют оценку наличия и величины нелинейно-оптической (НЛО) восприимчивости $\chi^{(2)}$ порошковым методом Куртца—Перри, поскольку генерацию второй гармоники излучения неодимового лазера 1,06 мкм легко наблюдать в зеленой области спектра [5]. После выявления перспективности кристалла для целей оптоэлектроники осуществляют наиболее трудоемкую часть работы по поиску технологии выращивания кристаллов. При этом предварительное знание структурно-физических свойств кристаллов существенно помогает априорному прогнозу условий роста совершенных кристаллов [6]. Соответственно, накопленный в настоящее время в банках данных (БД) большой массив детальных сведений по структурным и микроструктурным параметрам кристаллов (длинам химических связей (ДХС)) может быть эффективно использован в дальнейших кристаллохимических предсказаниях новых химических соединений, прогнозах структурных и физических свойств их кристаллов [7—11]. Такой подход

* E-mail: pervukh@niic.nsc.ru

Состав, структура, кратчайшие длины химической связи L (M—O, E—O) простых и бинарных НЦС кристаллов фосфатов

<i>N</i>	Химическая формула	Симметрия	<i>L</i> , пм		<i>P_s</i> , мКК/см ²	<i>d</i> , пК/Н	<i>r</i> , пм/В	$\chi^{(2)}$, пм/В
			M—O	E—O				
1	KTi _{0,96} Zr _{0,04} OPO ₄	<i>C_{2v}</i>	152	172,85				37
2	RbTi _{0,97} Zr _{0,03} OPO ₄	<i>C_{2v}</i>	274,8	172,8	152,1			19,2
3	KTiOPO ₄	<i>C_{2v}</i>	267,7	171,6	27		36,3	13,7
4	K _{0,84} (Ti _{0,92} Nb _{0,08})OPO ₄	<i>C_{2v}</i>	268,6	175,2				13,7
5	(K _{0,535} Rb _{0,465})TiOPO ₄	<i>C_{2v}</i>	272,0	171,7				13,7
6	RbTiOPO ₄	<i>C_{2v}</i>	274,7	171,4	30			13,5
7	TlTiOPO ₄	<i>C_{2v}</i>	268	174	49			12,5
8	Rb _{0,98} Ti _{1,01} Er _{0,99} OPO ₄	<i>C_{2v}</i>	273,6	172				~9
9	Rb ₂ Ti _{1,01} Er _{0,99} (PO ₄) ₃	<i>T</i>	292,7	199,8				~6
10	NaTiOPO ₄	<i>C_{2v}</i>	239,8	171,7				~5,06
11	Tl ₃ PO ₄	<i>C₆</i>	252,9	252,9				~0,4—3
12	K(Mg _{1/3} Nb _{2/3})PO ₅	<i>D₄</i>	257,8	189,0				~1,8
13	FePO ₄ , 294 K	<i>D₃</i>	179,3	179,3				~1,52
14	δ_1 -LiZnPO ₄	<i>C_{2v}</i>	192,5	189				~1,5
15	Rb ₃ Ti ₃ O(P ₂ O ₇)(PO ₄) ₃	<i>C_{2v}</i>	279,1	179,4				~1,41
16	α -CsTi ₃ P ₅ O ₁₉	<i>C_s</i>	305,8	180,9				~1,2
17	KH ₂ PO ₄ , 77 K	<i>C_{2v}</i>	278,3	143	4,75			~1,12
18	K _{0,15} Ag _{0,85} TiOPO ₄	<i>C_{2v}</i>	233,8	172				~1,06
19	Pb ₆ [PO ₄] ₂ [B(PO ₄) ₄]	<i>S₄</i>	204	146				~1,06
20	K _{0,66} Na _{0,34} Nb ₂ PO ₈	<i>D₃</i>	289	186				~0,88
21	Tl _{0,79} Na _{0,21} Nb ₂ PO ₈	<i>D₃</i>	286	185,1				~0,88
22	KH ₂ PO ₄	<i>D_{2d}</i>	282,5	142				0,88
23	KGeOPO ₄	<i>C_{2v}</i>	262,5	179,1				~0,73
24	Na ₅ Ti(PO ₄) ₃	<i>D₃</i>	235,9	188,2				~0,7
25	Zn ₃ (BO ₃)(PO ₄)	<i>C_s</i>	198,0	136,3				0,69
26	KSnOPO ₄	<i>C_{2v}</i>	261,1	195,7	0,0224			~0,6
27	GaPO ₄	<i>D₃</i>	181,0	181,0		4,5		0,5
28	Ca ₉ In(PO ₄) ₇	<i>C_{3v}</i>	226,1	212,8				~0,47
29	AlPO ₄	<i>D₃</i>	173,2	173,2		3,3		0,4
30	NaTh ₂ (PO ₄) ₃	<i>C_s</i>	232	227	0,01			~0,31
31	Na ₃ Sc ₂ (PO ₄) ₃	<i>C_s</i>	222	201,6				~0,22
32	BPO ₄	<i>S₄</i>	140	140				~0,64

П р и м е ч а н и е. P_s — спонтанная поляризация; d — максимальный пьезоэлектрический модуль; r — максимальный электрооптический коэффициент; $\chi^{(2)}$ — максимальный модуль нелинейно-оптической восприимчивости.

с построением эмпирической взаимосвязи "состав—структура—свойство" на плоскости ДХС был развит нами вначале для бинарных, а затем и ряда тройных оксидов и халькогенидов [12—16]. Было показано, что на плоскости ДХС кристаллы бинарных оксидов и халькогенидов, обладающих измеримыми ацентричными свойствами, располагаются внутри розетки из двух эллипсов ацентричности, а НЦС кристаллы тройных соединений — внутри розетки из трех эллипсов. В данной работе проведен дальнейший анализ взаимосвязи "состав—структура—свойство" НЦС кристаллов двойных и тройных оксидов в классе фосфатов [17].

Рис. 1. Гистограмма распределения числа НЦС кристаллов фосфатов (светлые колонки) и бинарных оксидов (черные колонки) по точечным группам симметрии:

1 — C_{6v} , 2 — C_{4v} , 3 — C_{3v} , 4 — C_{2v} , 5 — C_s , 6 — C_6 , 7 — C_4 , 8 — C_3 , 9 — C_2 , 10 — C_1 , 11 — O , 12 — T , 13 — D_6 , 14 — D_4 , 15 — D_3 , 16 — D_2 , 17 — D_{2d} , 18 — S_4 , 19 — T_d , 20 — D_{3h} , 21 — C_{3h}

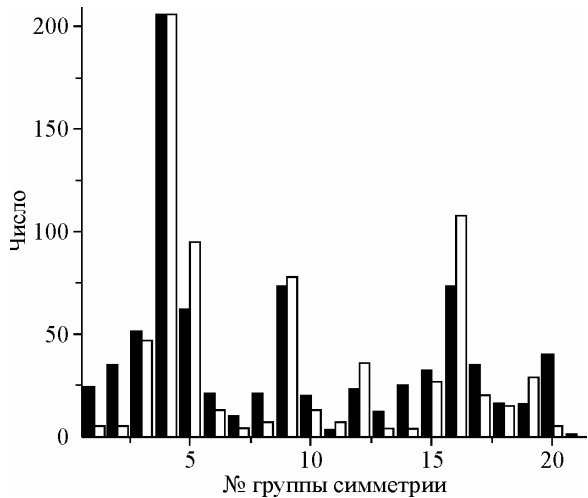
СИММЕТРИЯ И СТАТИСТИКА

Нами собраны опубликованные данные по ДХС и НЛО свойствам ацентричных кристаллов простых и бинарных оксидов (~1000), боратов (~170), фосфатов (~400), силикатов (>160), германатов (>100), алюминатов (~100), титанатов (~150), иодатов (>40), ванадатов (>160), ниобатов (>160), tantalатов (~100), молибдатов (~100) и вольфраматов (~90), структура которых была установлена методами рентгеновского или нейтронного анализов с фактором расходимости $R(F) < 0,15$. Для примера в таблице представлены данные по кристаллам фосфатов, для которых $\chi^{(2)} \geq 0,2$ пм/В. Состав бинарных фосфатов описывается обобщенными химическими формулами $M_nM_mP_pO_t$, $M_nE_mP_pO_t$ или $E_nE_mP_pO_t$, в которых катионы типа Е и М подчиняются соотношению $123 < L(E—O) \leq 202 < L(M—O) < 350$ пм, где L — длина кратчайшей связи.

Поскольку структура кристалла однозначно предопределяет набор и анизотропию его ацентричных свойств, то как для установления принципов образования кристаллов, так и для их практического применения крайне важно знать распределение их числа N по 21 возможной "ацентричной" структуре [18, 19]. На рис. 1 представлены резко немонотонные гистограммы такого распределения (кристаллохимические Кларки) для кристаллов бинарных оксидов, простых и бинарных фосфатов, выровненные по числу наиболее распространенных кристаллов со структурой C_{2v} . Хотя для оксидов и фосфатов наблюдается наличие всех 21 типов точечной симметрии, среди них выделяется повышенное образование структур C_{3v} , C_s , C_2 и D_2 . При этом доля последних трех структур C_s , C_2 и D_2 среди фосфатов выше, чем для бинарных оксидов. Однако как в классе оксидов, так и фосфатов резко понижена доля весьма редких структур C_4 , O , C_{3h} , а среди фосфатов также весьма мала доля структур C_{6v} , C_{4v} , C_3 , D_6 , D_4 , D_{3h} . Кроме того, в некоторой степени среди оксидов понижена доля структур C_3 , C_1 , D_6 , S_4 , а среди фосфатов — C_6 , C_1 и S_4 . Следовательно, как и в других случаях органических и неорганических веществ, определенная специфика химических связей проявляется не только в свойствах кристаллов, но и в законах кристаллогенезиса, а соответственно, и в численности тех или иных классов кристаллических структур [19].

ВЗАИМОСВЯЗЬ "СОСТАВ—СТРУКТУРА—НЕЛИНЕЙНО-ОПТИЧЕСКИЕ СВОЙСТВА"

В соответствии с нашей методологией на плоскости ДХС построено множество НЦС кристаллов простых и бинарных фосфатов отдельно для полярных и неполярных пьезоэлектриков (рис. 2 и 3). Здесь каждая точечная симметрия кристаллов обозначена отдельным символом, при этом темными символами выделены структуры пьезоэлектрических кристаллов, обладающих измеримой НЛО восприимчивостью $\chi^{(2)}$. Все множество НЦС кристаллов располагается на плоскости ДХС внутри розетки из трех пересекающихся эллипсов ацентричности (I—III). С другой стороны ЦС кристаллы находятся на всей плоскости $L(E—O)—L(M—O)$ [9]. Розетка является симметричной относительно биссектрисы координатного угла. На этой биссектрисе расположены кристаллы простых фосфатов, в то время как кристаллы бинарных фосфатов расположены в двух малых и одном большом эллипсах ацентричности. Наблюдаются специфи-



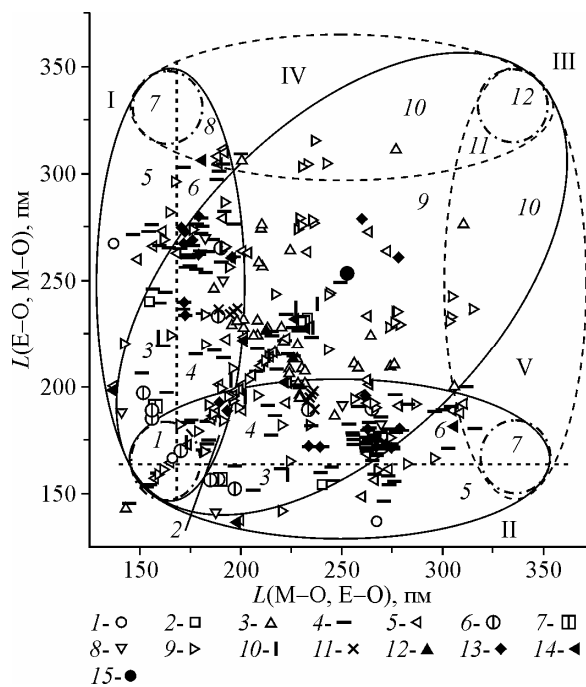


Рис. 2. Розетка эллипсов ацентричности для полярных кристаллов простых и бинарных фосфатов.
1 - C_{6v} , 2 - C_{4v} , 3, 12 - C_{3v} , 4, 13 - C_{2v} , 5, 14 - C_s ,
6, 15 - C_6 , 7 - C_4 , 8 - C_3 , 9 - C_2 , 10 - C_1 , 11 - O . Темные точки 12-15 обозначают кристаллы с высокими НЛО свойствами $\chi^{(2)}$

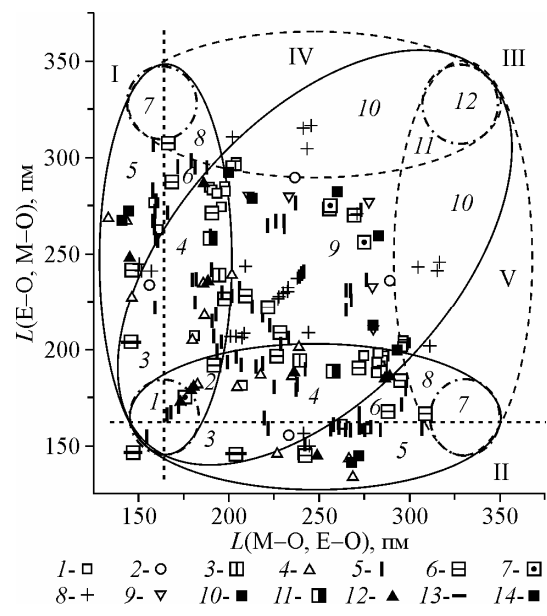


Рис. 3. Розетка эллипсов ацентричности для неполярных пьезоэлектрических кристаллов простых и бинарных фосфатов.
1, 10 - T , 2 - D_6 , 3, 11 - D_4 , 4, 12 - D_3 ,
5 - D_2 , 6 - D_{2d} , 7, 13 - S_4 , 8 - T_d , 9 - D_{3h} . Темные точки 10-14 обозначают кристаллы с высокими НЛО свойствами $\chi^{(2)}$

ческие случаи нахождения НЦС фосфатов вне эллипсов ацентричности, однако НЛО свойства для таких фосфатов близки к нулю и не могут быть измерены современными методами.

Для более детальной таксономии множества НЦС кристаллов фосфатов на рис. 2 и 3 впервые добавлены два вспомогательных эллипса IV и V, а в головных частях эллипсов I-III выделены малые окружности (круги) 1, 7, 8, 12. Такое построение разбивает розетку эллипсов I-V на 12 подобластей, которые расположены симметрично относительно биссектрисы координатного угла. В них находится ограниченное число кристаллов различных структур и с разным уровнем $\chi^{(2)}$. Кристаллы с $\chi^{(2)} \geq 0,2$ пм/В принадлежат к полярной гексагональной (C_6), тригональной (C_{3v}), ромбической (C_{2v}), моноклинной (C_s) сингонии и к неполярной кубической (T), тетрагональной (D_4 , D_{2d} , S_4) и тригональной (D_3) структуре (см. таблицу). Кристаллы с более высокой величиной $\chi^{(2)}$ расположены преимущественно в соседних областях 4 и 9, относящихся к правой части вертикального эллипса ацентричности I и к верхней части горизонтального эллипса II, а также к центральному большему эллипсу вне общей части эллипсов I-II. Максимальное значение $\chi^{(2)}$ наблюдается для ромбических кристаллов группы титанил фосфата калия ($KTiOPO_4$, KTP) с полярной структурой C_{2v} , относящихся к типу $M_nTi_pP_mO_t$ ($M = K, Rb, Cs, Tl$) и расположенных в верхней части области 4.

В центральном эллипсе III вне областей пересечения с эллипсами I-II находится основная часть кристаллов типа $M_n^1M_m^2P_pO_t$, в то время как внутри вертикального I и горизонтального II эллипсов расположена значительная часть кристаллов типа $M_nE_mP_pO_t$, а в пересечении эллипсов I-II, луковице (область 1 и 2) — практически все кристаллы типа $E_n^1E_m^2P_pO_t$. Полярные ромбические, моноклинные, неполярные тригональные и тетрагональные кристаллы с умеренной величиной $\chi^{(2)}$ расположены в областях 2-6. В остальных областях 1, 7, 8, 10-12 кристаллов фосфатов с измеримой величиной $\chi^{(2)}$ пока не обнаружено. Эти кристаллы относятся ко всем сингониям и имеют точечную симметрию C_{6v} , C_{4v} , C_4 , C_3 , C_2 , C_1 , O , D_6 , D_2 , T_d , D_{3h} и C_{3h} .

Рис. 4. Зависимость НЛО восприимчивости $\chi^{(2)}$ кристаллов фосфатов от длины связи $L(P—O)$:

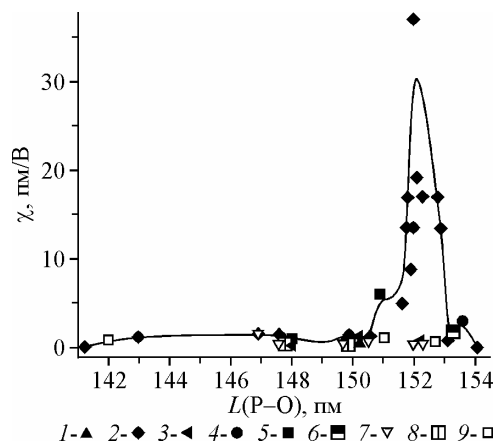
1 — C_{3v} , 2 — C_{2v} , 3 — C_s , 4 — C_6 , 5 — T , 6 — D_4 , 7 — D_3 , 8 — D_{2d} ,
9 — S_4

Как показано ранее, функции $\chi^{(2)} = F[L(E—O)]$ для всех классов оксидных соединений являются нечеткими, имеющими особенно большой разброс величины $\chi^{(2)}$ в позиции экстремума F . Поэтому на рис. 4 построены только резко немонотонные верхние огибающие линии нечеткой зависимости $\chi^{(2)}$ от $L(P—O)$, которые имеют несколько максимумов, относящихся к полярной структуре C_{2v} или неполярной T . Эта функция $\chi^{(2)} = F[L(P—O)]$ имеет основной максимум, относящийся к $KTi(Zr)OPO_4$, КТР (C_{2v}), $\chi^{(2)} \leq 37$ пм/В, в то время как другие максимумы относятся к $Rb_3Ti_3O(P_2O_7)(PO_4)_3$ (C_{2v}); $Rb_2Ti_{1,01}Er_{0,99}(PO_4)_3$ (T); Tl_3PO_4 (C_6) [20—23]. Отметим, что основной уровень $\chi^{(2)} \sim 0,1$ —1 пм/В наблюдается для кристаллов фосфатов, в кристаллической решетке которых ион фосфора P^{5+} и ряд других катионов находятся преимущественно в тетраэдрической координации (см. рис. 3, таблицу). С другой стороны, в кристаллах титанил фосфата калия и в других ромбических кристаллах группы КТР, имеющих повышенное значение $\chi^{(2)} > 3$ пм/В, ион Ti^{4+} расположен в октаэдрической координации [6]. Другие кристаллы фосфатов с повышенным значением $\chi^{(2)}$ также можно ожидать для их соединений с иодатами, ниобатами или tantalатами, в которых ионы I^{5+} , Nb^{5+} , Ta^{5+} находятся в октаэдрической координации [14].

ОБСУЖДЕНИЕ РЕЗУЛЬТАТОВ

Ключевой основой для априорного дизайна новых твердотельных материалов электронной техники, наиболее эффективно выполняющих требуемую функцию, является установление центральной триады материаловедения: "состав—структура—свойство" [2, 5—17]. В связи с большим разнообразием материалов такой анализ необходимо начинать с наиболее общей взаимосвязи "структурно—свойство" для кристаллических материалов [2]. Первым этапом на этом пути является предложенное нами построение универсальной системы взаимосвязи структурно-физических свойств кристаллов в виде обобщенной наглядной таблицы-схемы, включающей 32 точечные группы симметрии. Ранее выполненный детальный кристаллохимический анализ взаимосвязи "состав—структура—свойство" для НЦС кристаллов бинарных оксидов показал, что оксидные кристаллы с высоким уровнем НЛО свойств ($\chi^{(2)} > 20$ пм/В) наблюдаются среди кристаллов ванадатов, иодатов, ниобатов, титанатов и tantalатов, в кристаллической решетке которых ионы V^{4+} , Ti^{4+} , I^{5+} , Nb^{5+} , Ta^{5+} находятся в октаэдрической координации [12]. Последующий подобный анализ кристаллов тройных оксидов подтвердил необходимость включения перечисленных катионов в состав более сложных оксидов для получения кристаллов с высоким уровнем $\chi^{(2)}$ [14, 16].

В первых работах по НЛО свойствам кристаллов каждой химической связи приписывали определенный вклад в значение $\chi^{(2)}$ [24]. Последующие работы показали, что общая НЛО восприимчивость кристалла не является суммой восприимчивостей отдельных связей, а сложным образом зависит от распределения электронной плотности в кристалле [23]. Только в последние годы более детальное изучение взаимосвязи "состав—структура—НЛО свойство" начато методами функционала плотности с использованием полных банков данных по структуре кристаллов [25, 26]. Приведенное здесь расположение кристаллов с разной величиной $\chi^{(2)}$ на карте ДХС и построение нечеткой зависимости $\chi^{(2)} = F[L(P—O)]$, тем не менее, еще раз показывает, что очень четкий максимум $\chi^{(2)}$ формируется в кристаллах, имеющих определенные ДХС, которые составляют основной каркас, кристаллографический мотив структуры.



ЗАКЛЮЧЕНИЕ

Таким образом, дальнейшее расширение списка потенциальных полярных и неполярных пьезоэлектриков, установление наиболее общих закономерностей взаимосвязи структурных, микроструктурных и физических свойств кристаллов, введение критерия ДХС, построение эллипсов ацентричности, эмпирической зависимости $\chi^{(2)} = F(L)$ являются полезными для классификации и систематизации данных по свойствам ацентричных оксидных кристаллов. При этом несмотря на существенное развитие междисциплинарных знаний, моделей взаимосвязи "структура—свойство" различных материалов, разработку разнообразных подходов в прогнозировании состава и свойств новых кристаллических соединений, до сих пор опыт и интуиция исследователя, физика или химика, играют решающую роль в поиске и дизайне перспективных ацентричных кристаллов [27].

СПИСОК ЛИТЕРАТУРЫ

1. Сиротин Ю.И., Шаскольская М.П. Основы кристаллофизики. – М.: Наука, 1975.
2. Кидяров Б.И., Атучин В.В. // Изв. вузов. Материалы электронной техники. – 2007. – № 2. – С. 72.
3. Архипенко Д.К., Мороз Т.Н. // Кристаллография. – 1996. – **41**, № 6. – С. 1002.
4. Куражковская В.С., Боровикова Е.Ю., Леонюк Н.И. и др. // Журн. структур. химии. – 2008. – **49**, № 6. – С. 1074.
5. Кидяров Б.И., Атучин В.В., Первухина Н.В. // ФТТ. – 2009. – **51**, № 8. – С. 1460.
6. Кидяров Б.И. // ФТТ. – 2009. – **51**, № 7. – С. 1357.
7. Безносиков Б.В., Александров К.С. // Труды II Международной конф. "Реальная структура и свойства ацентричных кристаллов" / Ред. А.И. Медовой и Е.В. Полянский. – Александров ВНИИСИМС, 1995. – С. 66.
8. Baur W.H. // Nova Acta Leopoldina. NF. – 1999. – **79**, № 310. – S. 47.
9. Кидяров Б.И., Пестряков Е.В. // Изв. РАН. Сер. Физ. – 1999. – **63**, № 6. – С. 1080.
10. Dunitz J.D. // Chem. Commun. – 2003. – № 5. – P. 545.
11. Безносиков Б.В., Зайцев А.И. // Перспективные материалы. – 2005. – С. 37.
12. Atuchin V.V., Kidyarov B.I., Pervukhina N.V. // Computat. Mater. Sci. – 2004. – **30**, N 3-4. – P. 411.
13. Atuchin V.V., Kidyarov B.I., Pervukhina N.V. // Computat. Mater. Sci. – 2006. – **37**, N 3-4. – P. 507.
14. Atuchin V.V., Kidyarov B.I., Pervukhina N.V. // J. Crystal Growth. – 2005. – **275**. – Pe 1941.
15. Atuchin V.V., Kidyarov B.I., Pervukhina N.V. // Proc. SPIE. Int. conference on nonlinear optics. ICONO/LAT. – 2005. Saint-Petersburg. – 2006. – **6258**. – P. 62580C.
16. Kidyarov B.I., Atuchin V.V., Pervukhina N.V. // In: Proceedings of the Second International forum on Strategic Technology. IFOST-2007. October 3–5, 2007. – Ulanbaatar: Mongolian University of Science and Technology, 2007. – P. 517 – 519.
17. Atuchin V.V., Kidyarov B.I., Pervukhina N.V. // Ceramic Internat. – 2004. – **30**, N 7. – P. 2005.
18. Чесноков Б.В. // Вестник РАН. – 2001. – **71**, № 7. – С. 607.
19. Атучин В.В., Кидяров Б.И., Первухина Н.В. // Фундамент. пробл. соврем. материаловед. – 2006. – **3**, № 1. – С. 64.
20. Воронкова В.И., Яновский В.К., Леонтьева И.Н., и др. // Неорган. материалы. – 2004. – **40**, № 12. – С. 1321.
21. Агапова Е.И., Воронкова В.И., Харитонова Е.П. и др. // Кристаллография. – 2008. – **53**, № 2. – С. 311.
22. Новикова Н.Е., Верин И.А., Сорокина Н.И. и др. // Кристаллография. – 2008. – **53**, № 6. – С. 999.
23. Новикова Н.Е., Верин И.А., Сорокина Н.И. и др. // Кристаллография. – 2009. – **54**, № 2. – С. 247.
24. Jeggo G.R., Boyd G.D. // J. Appl. Phys. – 1971. – **41**, N 6. – P. 2741.
25. Иванов В.А. Некоторые особенности физических свойств псевдосимметричных кристаллов: Автoreф. дис. ... канд. физ.-мат. наук. – Нижний Новгород: ННГУ, 2008.
26. Иванов В.А., Бурдов В.А., Титаев Д.Н. и др. // Кристаллография. – 2008. – **53**, № 4. – С. 714.
27. Долгих В.А. Синтез и строение оксидных и оксигалогенидных производных теллура с нецентросимметричной структурой (с пьезо-, пиро-, сегнетоэлектрическими свойствами): Автoreф. дис. ... докт. хим. наук. – М.: МГУ, 1994.